

Última actualización de la información: Abril 2025

Configuraciones productos: PY95.S1

PY95.S1: Cuerpo de iluminación L=880 - DALI-2 Sensor - Óptica Very Wide Flood (Down) - GL - 54.9W 8308.5lm - 2700K - Blanco/Blanco/Blanco Transparente



Código producto

PY95.S1: Cuerpo de iluminación L=880 - DALI-2 Sensor - Óptica Very Wide Flood (Down) - GL - 54.9W 8308.5lm - 2700K - Blanco/Blanco/Blanco Transparente

Descripción

Cuerpo de iluminación de extrusión de aluminio pintado, marco y tapones de material termoplástico moldeado por inyección. Óptica Very Wide Flood (80°) en versión Space Opti-Diamond (PMMA) con tapa trasera disponible en versión blanca (blanco transparente) o negra (negro transparente). Alimentador DALI-2 integrado y led (Mid-Power) monocromático 2700K CRI80 de emisión directa. Luminaria con sensor DALI-2 con detector de lux y movimiento, para sistemas de control DALI-2 compatibles.

Instalación

Instalación sobre raíl de sesión de red.

Altura de instalación mín. 2,4 m / máx. 5 m para movimiento y mín. 2,4 m / máx. 3 m. como sensor de lux y movimiento.

Para más información sobre los valores de altura y la distancia de instalación, contactar con iGuzzini o consultar las hojas de instrucciones.

Ejemplo diámetro de alcance típico del sensor de movimiento: 5 m (@ 4 m h de instalación).

Rango dinámico de iluminación: 1-1000 lx.

Ángulo de detección del movimiento 84°.

Ángulo de detección para medición de la luz 30° - 60° (asimétrico).

Colores

Blanco/Blanco/Blanco Transparente (S1)

Peso (Kg)

2.73

Equipo

La alimentación está garantizada a través del bus DALI (consumo 9 mA).

Notas

DALI EN 62386-101 ed.2 (DALI-2) El sensor utilizado está certificado DALI-2. DALI parts 101,103, 301, 303, 304

Para los sistemas compatibles con el sensor DALI-2, contactar con iGuzzini.

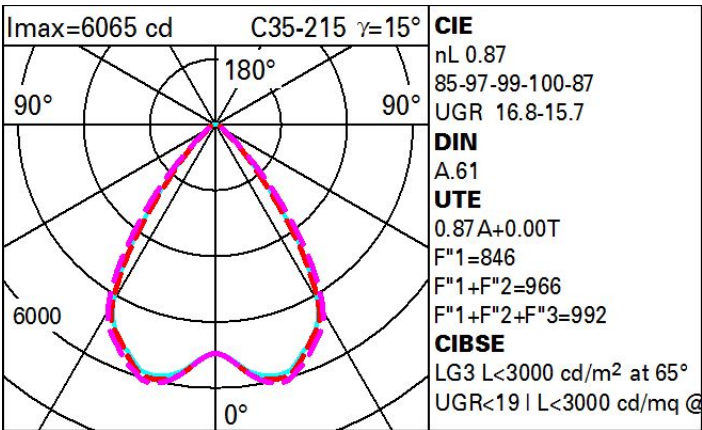
Se conforma con EN60598-1 y regulaciones pertinentes



Datos técnicos

| | | | |
|---|-------|---|--|
| Im de sistema: | 8309 | Código de lámpara: | LED |
| W de sistema: | 50 | Número de lámparas por grupo óptico: | 1 |
| Im de la fuente: | 9550 | Código ZVEI: | LED |
| W de la fuente: | 50 | Número de grupos ópticos: | 1 |
| Eficiencia luminosa (lm/W, valor del sistema): | 166.2 | Factor de potencia: | Ver Hoja de instrucciones |
| Im en modo emergencia: | - | Corriente de entrada: | 10 A / - µs |
| Flujo total de emisión en un ángulo de 90° o superior [Lm]: | 0 | Número máximo de luminarias por interruptor automático: | B10A: 12 Luminarias B16A: 20 Luminarias C10A: 20 Luminarias C16A: 34 Luminarias |
| Light Output Ratio (L.O.R.) [%]: | 87 | % mínimo de dimerización: | 1 |
| CRI (mínimo): | 80 | Protección al sobrevoltaje: | 2kV Modo común y 1kV Modo diferencial |
| Temperatura de color [K]: | 2700 | Control: | DALI-2 sensor |
| MacAdam Step: | 3 | | |

Polar



Coefficientes de uso

| R | 77 | 75 | 73 | 71 | 55 | 53 | 33 | 00 | DRR |
|------|----|----|----|----|----|----|----|----|-----|
| K0.8 | 72 | 67 | 63 | 60 | 66 | 62 | 62 | 58 | 67 |
| 1.0 | 77 | 72 | 68 | 65 | 71 | 67 | 67 | 63 | 73 |
| 1.5 | 82 | 79 | 75 | 73 | 77 | 75 | 74 | 70 | 81 |
| 2.0 | 86 | 83 | 80 | 78 | 82 | 79 | 78 | 75 | 87 |
| 2.5 | 88 | 85 | 84 | 82 | 84 | 82 | 81 | 78 | 90 |
| 3.0 | 89 | 87 | 86 | 84 | 86 | 85 | 83 | 81 | 93 |
| 4.0 | 91 | 89 | 88 | 87 | 88 | 87 | 85 | 83 | 95 |
| 5.0 | 91 | 90 | 89 | 88 | 89 | 88 | 86 | 84 | 96 |

Curva límite de luminancia

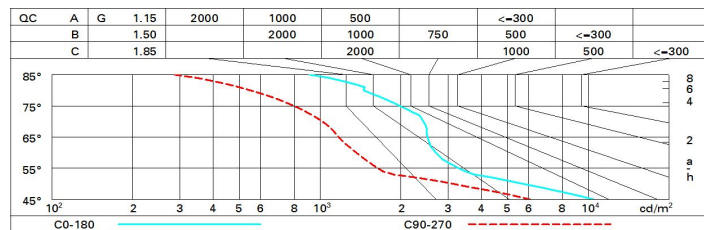


Diagrama UGR

| Corrected UGR values (at 9550 lm bare lamp luminous flux) | | | | | | | | | | | |
|---|-----|------------------|------------|------|------|------|----------------|------|------|------|------|
| Reflect.: | | viewed crosswise | | | | | viewed endwise | | | | |
| ceiling/cav | | 0.70 | 0.70 | 0.50 | 0.50 | 0.30 | 0.70 | 0.70 | 0.50 | 0.50 | 0.30 |
| walls | | 0.50 | 0.30 | 0.50 | 0.30 | 0.30 | 0.50 | 0.30 | 0.50 | 0.30 | 0.30 |
| work pl. | | 0.20 | 0.20 | 0.20 | 0.20 | 0.20 | 0.20 | 0.20 | 0.20 | 0.20 | 0.20 |
| Room dim | | | | | | | | | | | |
| x | y | | | | | | | | | | |
| 2H | 2H | 16.7 | 17.4 | 17.0 | 17.7 | 17.9 | 15.8 | 16.5 | 16.1 | 16.8 | 17.0 |
| | 3H | 16.8 | 17.5 | 17.1 | 17.7 | 18.0 | 15.7 | 16.4 | 16.0 | 16.7 | 16.9 |
| | 4H | 16.8 | 17.5 | 17.2 | 17.8 | 18.1 | 15.6 | 16.3 | 16.0 | 16.6 | 16.9 |
| | 6H | 16.8 | 17.4 | 17.2 | 17.8 | 18.1 | 15.6 | 16.2 | 15.9 | 16.5 | 16.8 |
| | 8H | 16.8 | 17.4 | 17.2 | 17.7 | 18.1 | 15.6 | 16.1 | 15.9 | 16.5 | 16.8 |
| | 12H | 16.8 | 17.4 | 17.2 | 17.7 | 18.1 | 15.5 | 16.1 | 15.9 | 16.4 | 16.8 |
| 4H | 2H | 16.5 | 17.2 | 16.9 | 17.5 | 17.8 | 15.8 | 16.5 | 16.2 | 16.8 | 17.1 |
| | 3H | 16.7 | 17.2 | 17.1 | 17.6 | 17.9 | 15.8 | 16.3 | 16.2 | 16.7 | 17.0 |
| | 4H | 16.8 | 17.2 | 17.2 | 17.6 | 18.0 | 15.8 | 16.3 | 16.2 | 16.6 | 17.0 |
| | 6H | 16.8 | 17.2 | 17.3 | 17.6 | 18.1 | 15.7 | 16.2 | 16.2 | 16.6 | 17.0 |
| | 8H | 16.8 | 17.2 | 17.3 | 17.6 | 18.1 | 15.7 | 16.1 | 16.2 | 16.5 | 17.0 |
| | 12H | 16.8 | 17.2 | 17.3 | 17.6 | 18.1 | 15.7 | 16.0 | 16.1 | 16.5 | 16.9 |
| 8H | 4H | 16.7 | 17.1 | 17.1 | 17.5 | 17.9 | 15.8 | 16.2 | 16.2 | 16.6 | 17.0 |
| | 6H | 16.8 | 17.1 | 17.2 | 17.5 | 18.0 | 15.8 | 16.1 | 16.3 | 16.6 | 17.0 |
| | 8H | 16.8 | 17.1 | 17.3 | 17.5 | 18.0 | 15.8 | 16.0 | 16.3 | 16.5 | 17.0 |
| | 12H | 16.8 | 17.0 | 17.3 | 17.5 | 18.0 | 15.8 | 16.0 | 16.3 | 16.5 | 17.0 |
| 12H | 4H | 16.6 | 17.0 | 17.1 | 17.4 | 17.9 | 15.8 | 16.1 | 16.2 | 16.5 | 17.0 |
| | 6H | 16.7 | 17.0 | 17.2 | 17.5 | 18.0 | 15.8 | 16.0 | 16.3 | 16.5 | 17.0 |
| | 8H | 16.8 | 17.0 | 17.3 | 17.5 | 18.0 | 15.8 | 16.0 | 16.3 | 16.5 | 17.0 |
| Variations with the observer position at spacing: | | | | | | | | | | | |
| S = | | 1.0H | 2.7 / -3.8 | | | | 3.0 / -4.4 | | | | |
| | | 1.5H | 5.2 / -4.3 | | | | 5.2 / -4.9 | | | | |
| | | 2.0H | 7.1 / -4.9 | | | | 7.1 / -5.2 | | | | |